

Figure 1: Temps d'exécution des threads pour le fichier gemm.c

Table 1: Statistiques pour le fichier gemm.c

Statistique	Algebraic Tile	Tile (static)	Tile (dynamic)
Skewness (g1)	0.124368	0.0467719	0.0497073
Kurtosis (g2)	-1.56319	-1.98541	-1.98209
Coefficient de variation $\frac{\sigma}{\bar{x}}$	0.0198096	1.01257	1.00356
Percent Imbalance metric en %	3.11197	105.047	108.617
Coefficient de Gini	0.0111697	0.510308	0.511574
Temps d'exécution (s)	0.048546	0.082520	0.079966

$$g1 = \frac{\sum_{i=1}^n (x_i - \bar{x})^3}{n\sigma^3} \quad g2 = \frac{\sum_{i=1}^n (x_i - \bar{x})^4}{n\sigma^4} \quad \text{Coefficient de Gini} = \frac{\sum_{i=1}^n \sum_{j=1}^n |x_i - x_j|}{2n^2\bar{x}}$$

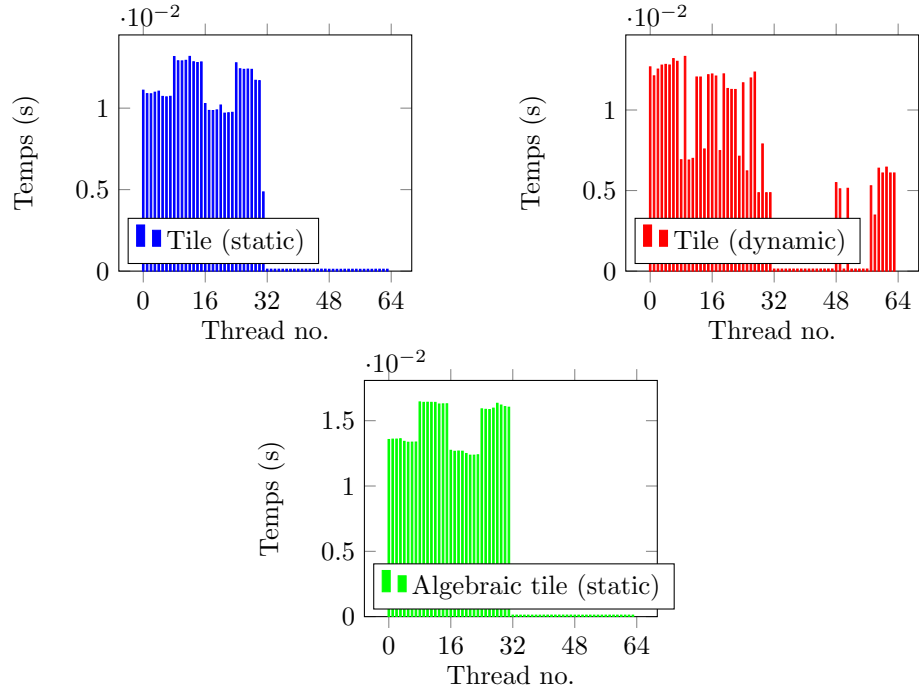


Figure 2: Temps d'exécution des threads pour le fichier gemver.c

Table 2: Statistiques pour le fichier gemver.c

Statistique	Algebraic Tile	Tile (static)	Tile (dynamic)
Skewness (g1)	0.0730623	0.104505	0.0705981
Kurtosis (g2)	-1.90451	-1.89101	-1.52524
Coefficient de variation $\frac{\sigma}{\bar{x}}$	0.996803	1.00086	0.829675
Percent Imbalance metric en %	123.343	131.53	119.688
Coefficient de Gini	0.522515	0.526992	0.463722
Temps d'exécution (s)	0.016693	0.013294	0.014406

$$g1 = \frac{\sum_{i=1}^n (x_i - \bar{x})^3}{n\sigma^3} \quad g2 = \frac{\sum_{i=1}^n (x_i - \bar{x})^4}{n\sigma^4} \quad \text{Coefficient de Gini} = \frac{\sum_{i=1}^n \sum_{j=1}^n |x_i - x_j|}{2n^2\bar{x}}$$

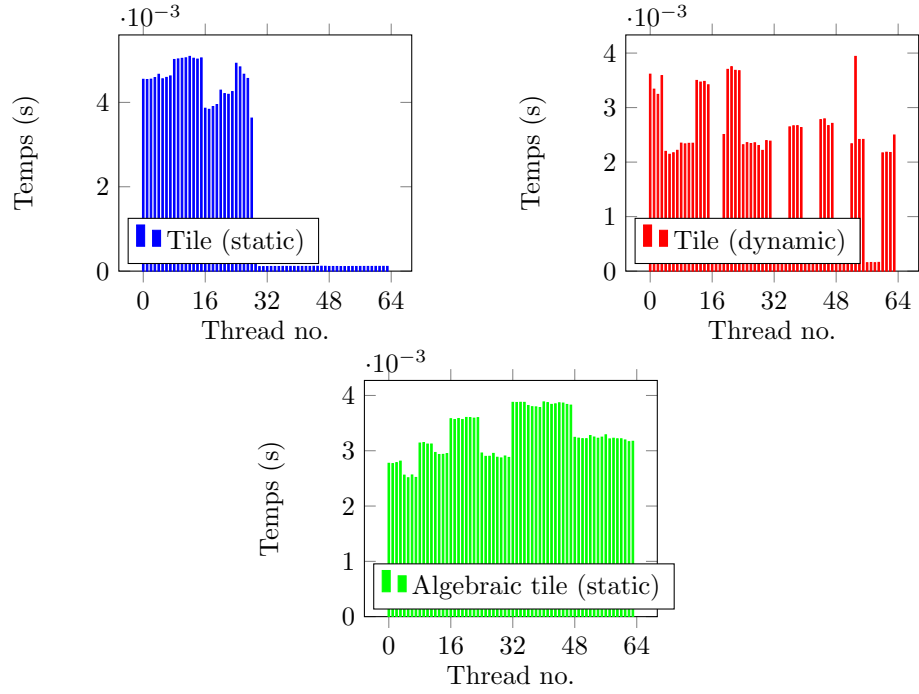


Figure 3: Temps d'exécution des threads pour le fichier gesummv.c

Table 3: Statistiques pour le fichier gesummv.c

Statistique	Algebraic Tile	Tile (static)	Tile (dynamic)
Skewness (g1)	0.0113818	0.23504	-0.423636
Kurtosis (g2)	-1.1258	-1.88568	-1.18873
Coefficient de variation $\frac{\sigma}{\bar{x}}$	0.124709	1.04519	0.641706
Percent Imbalance metric en %	17.9863	138.862	99.2322
Coefficient de Gini	0.0707723	0.540265	0.34851
Temps d'exécution (s)	0.003995	0.005177	0.005154

$$g1 = \frac{\sum_{i=1}^n (x_i - \bar{x})^3}{n\sigma^3} \quad g2 = \frac{\sum_{i=1}^n (x_i - \bar{x})^4}{n\sigma^4} \quad \text{Coefficient de Gini} = \frac{\sum_{i=1}^n \sum_{j=1}^n |x_i - x_j|}{2n^2\bar{x}}$$

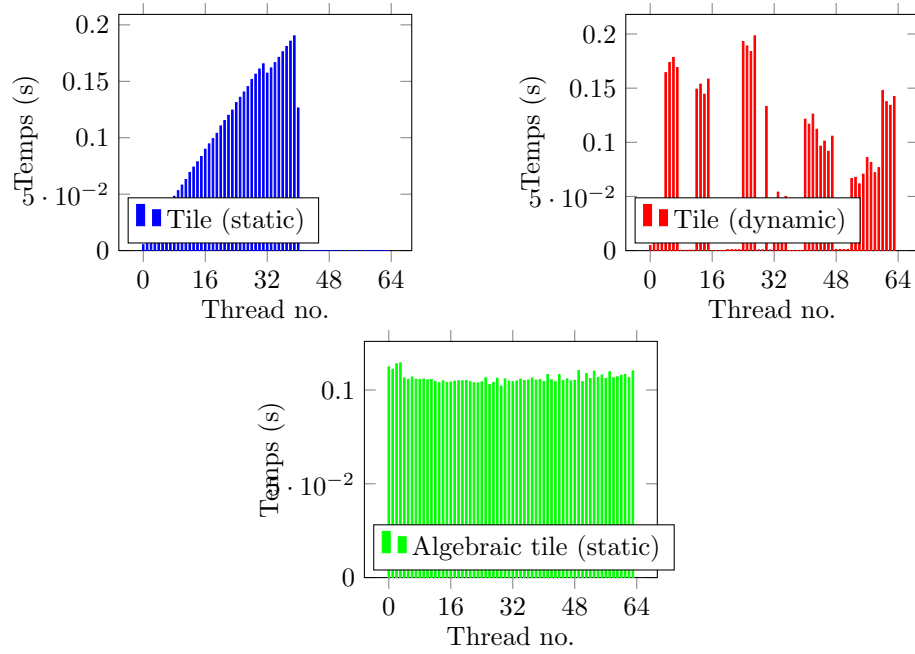


Figure 4: Temps d'exécution des threads pour le fichier syr2k.c

Table 4: Statistiques pour le fichier syr2k.c

Statistique	Algebraic Tile	Tile (static)	Tile (dynamic)
Skewness (g1)	1.47973	0.415842	0.388134
Kurtosis (g2)	2.17683	-1.37404	-1.31926
Coefficient de variation $\frac{s}{\bar{x}}$	0.0229653	0.995454	0.969292
Percent Imbalance metric en %	7.7446	184.494	185.148
Coefficient de Gini	0.011752	0.552699	0.540454
Temps d'exécution (s)	0.115426	0.190431	0.198947

$$g1 = \frac{\sum_{i=1}^n (x_i - \bar{x})^3}{n\sigma^3} \quad g2 = \frac{\sum_{i=1}^n (x_i - \bar{x})^4}{n\sigma^4} \quad \text{Coefficient de Gini} = \frac{\sum_{i=1}^n \sum_{j=1}^n |x_i - x_j|}{2n^2\bar{x}}$$

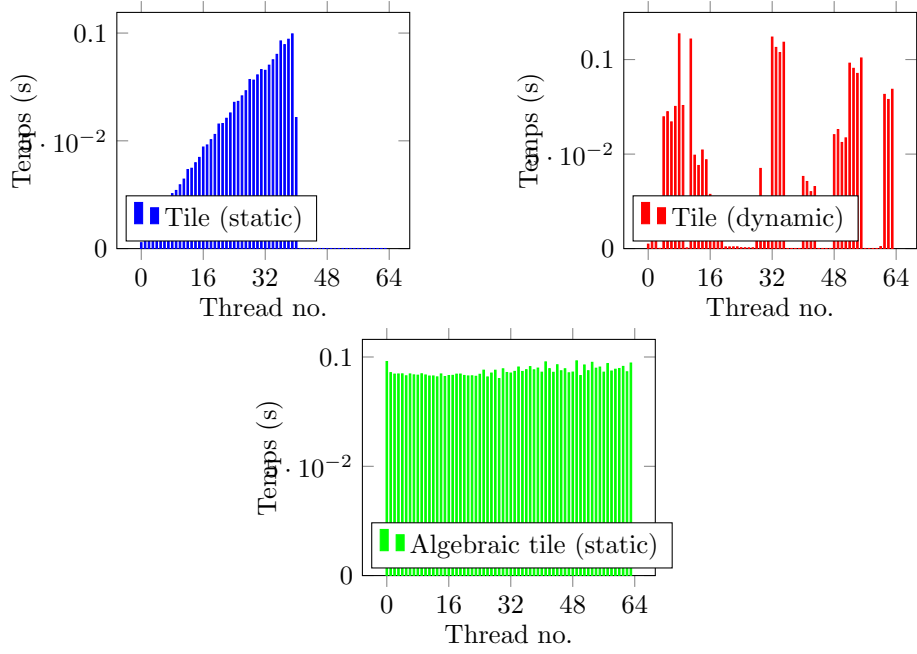


Figure 5: Temps d'exécution des threads pour le fichier syrk.c

Table 5: Statistiques pour le fichier syrk.c

Statistique	Algebraic Tile	Tile (static)	Tile (dynamic)
Skewness (g1)	0.745299	0.451386	0.574799
Kurtosis (g2)	-0.253955	-1.30476	-1.10604
Coefficient de variation $\frac{s}{\bar{x}}$	0.0211526	1.00513	1.02757
Percent Imbalance metric en %	5.14468	190.347	200.25
Coefficient de Gini	0.0117608	0.55717	0.566848
Temps d'exécution (s)	0.098830	0.100032	0.114677

$$g1 = \frac{\sum_{i=1}^n (x_i - \bar{x})^3}{n\sigma^3} \quad g2 = \frac{\sum_{i=1}^n (x_i - \bar{x})^4}{n\sigma^4} \quad \text{Coefficient de Gini} = \frac{\sum_{i=1}^n \sum_{j=1}^n |x_i - x_j|}{2n^2\bar{x}}$$

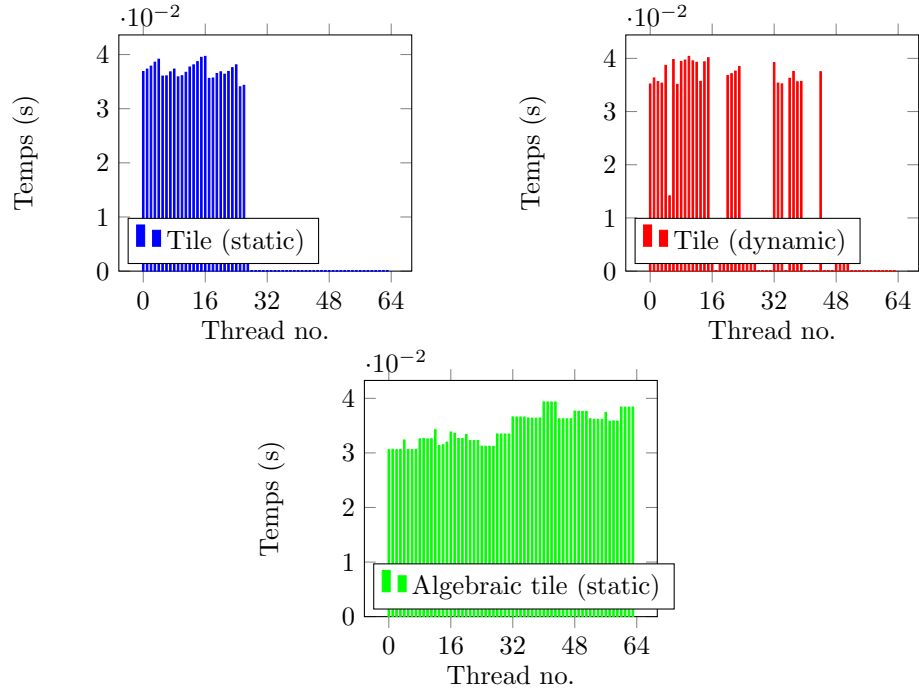


Figure 6: Temps d'exécution des threads pour le fichier trmm.c

Table 6: Statistiques pour le fichier trmm.c

Statistique	Algebraic Tile	Tile (static)	Tile (dynamic)
Skewness (g1)	0.0419716	0.31441	0.296899
Kurtosis (g2)	-1.31223	-1.88232	-1.86259
Coefficient de variation $\frac{\sigma}{\bar{x}}$	0.0792876	1.14833	1.07229
Percent Imbalance metric en %	13.6494	150.564	141.843
Coefficient de Gini	0.045175	0.579105	0.55723
Temps d'exécution (s)	0.039416	0.040332	0.043409

$$g1 = \frac{\sum_{i=1}^n (x_i - \bar{x})^3}{n\sigma^3} \quad g2 = \frac{\sum_{i=1}^n (x_i - \bar{x})^4}{n\sigma^4} \quad \text{Coefficient de Gini} = \frac{\sum_{i=1}^n \sum_{j=1}^n |x_i - x_j|}{2n^2\bar{x}}$$

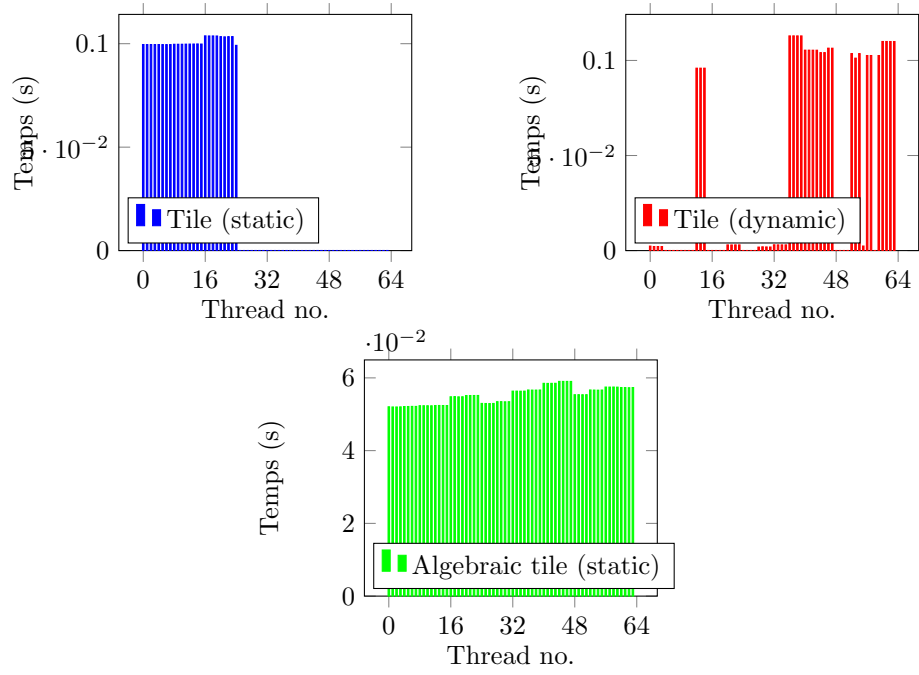


Figure 7: Temps d'exécution des threads pour le fichier 2mm.c

Table 7: Statistiques pour le fichier 2mm.c

Statistique	Algebraic Tile	Tile (static)	Tile (dynamic)
Skewness (g1)	0.037799	0.45004	0.458724
Kurtosis (g2)	-1.33387	-1.79513	-1.77269
Coefficient de variation $\frac{\sigma}{\bar{x}}$	0.0416717	1.24753	1.21764
Percent Imbalance metric en %	7.01435	163.063	169.4
Coefficient de Gini	0.0237554	0.611989	0.608795
Temps d'exécution (s)	0.059129	0.103907	0.113098

$$g1 = \frac{\sum_{i=1}^n (x_i - \bar{x})^3}{n\sigma^3} \quad g2 = \frac{\sum_{i=1}^n (x_i - \bar{x})^4}{n\sigma^4} \quad \text{Coefficient de Gini} = \frac{\sum_{i=1}^n \sum_{j=1}^n |x_i - x_j|}{2n^2\bar{x}}$$

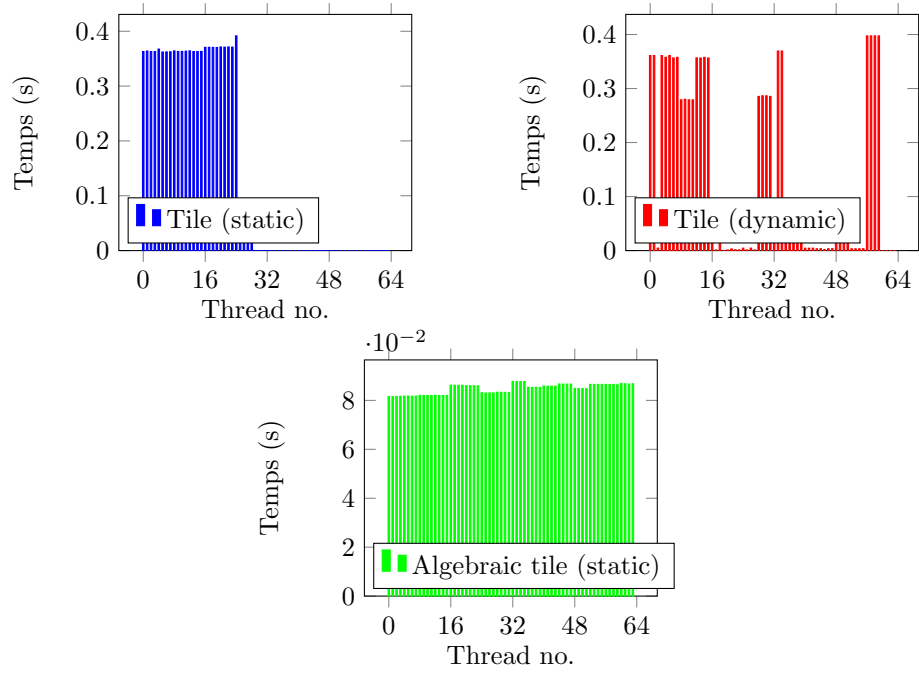


Figure 8: Temps d'exécution des threads pour le fichier 3mm.c

Table 8: Statistiques pour le fichier 3mm.c

Statistique	Algebraic Tile	Tile (static)	Tile (dynamic)
Skewness (g1)	-0.35794	0.42825	0.435714
Kurtosis (g2)	-1.41845	-1.79183	-1.60746
Coefficient de variation $\frac{\sigma}{\bar{x}}$	0.0240553	1.19891	1.06166
Percent Imbalance metric en %	3.546	165.802	166.006
Coefficient de Gini	0.0134273	0.600057	0.56892
Temps d'exécution (s)	0.088887	0.392320	0.402304

$$g1 = \frac{\sum_{i=1}^n (x_i - \bar{x})^3}{n\sigma^3} \quad g2 = \frac{\sum_{i=1}^n (x_i - \bar{x})^4}{n\sigma^4} \quad \text{Coefficient de Gini} = \frac{\sum_{i=1}^n \sum_{j=1}^n |x_i - x_j|}{2n^2\bar{x}}$$



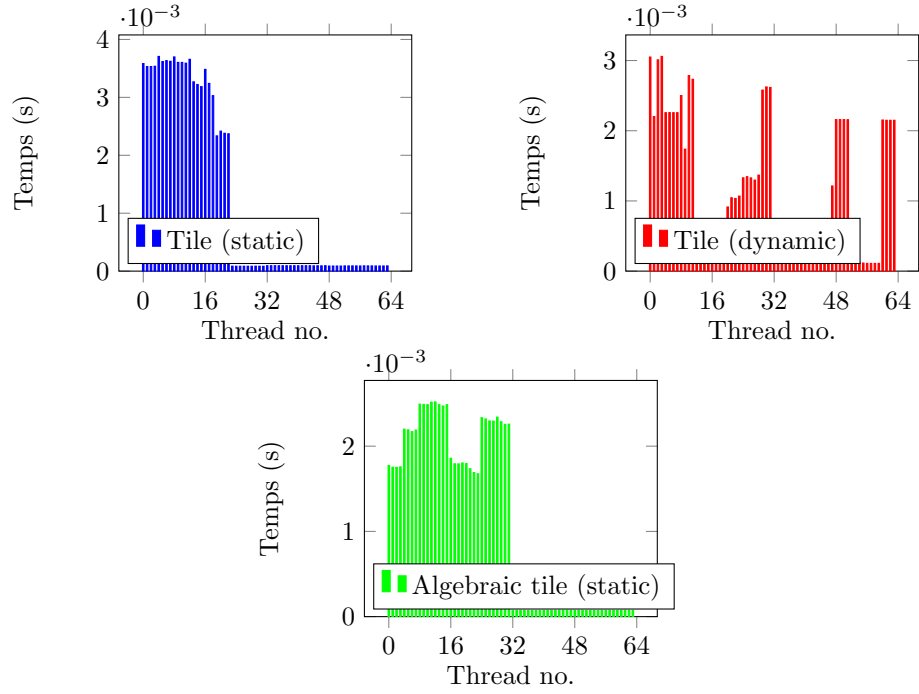


Figure 9: Temps d'exécution des threads pour le fichier atax.c

Table 9: Statistiques pour le fichier atax.c

Statistique	Algebraic Tile	Tile (static)	Tile (dynamic)
Skewness (g1)	0.118776	0.669807	0.402562
Kurtosis (g2)	-1.84918	-1.46873	-1.45957
Coefficient de variation $\frac{\sigma}{\bar{x}}$	0.953242	1.25834	0.963213
Percent Imbalance metric en %	128.309	198.328	177.579
Coefficient de Gini	0.504977	0.618854	0.52095
Temps d'exécution (s)	0.002606	0.003786	0.003603

$$g1 = \frac{\sum_{i=1}^n (x_i - \bar{x})^3}{n\sigma^3} \quad g2 = \frac{\sum_{i=1}^n (x_i - \bar{x})^4}{n\sigma^4} \quad \text{Coefficient de Gini} = \frac{\sum_{i=1}^n \sum_{j=1}^n |x_i - x_j|}{2n^2\bar{x}}$$

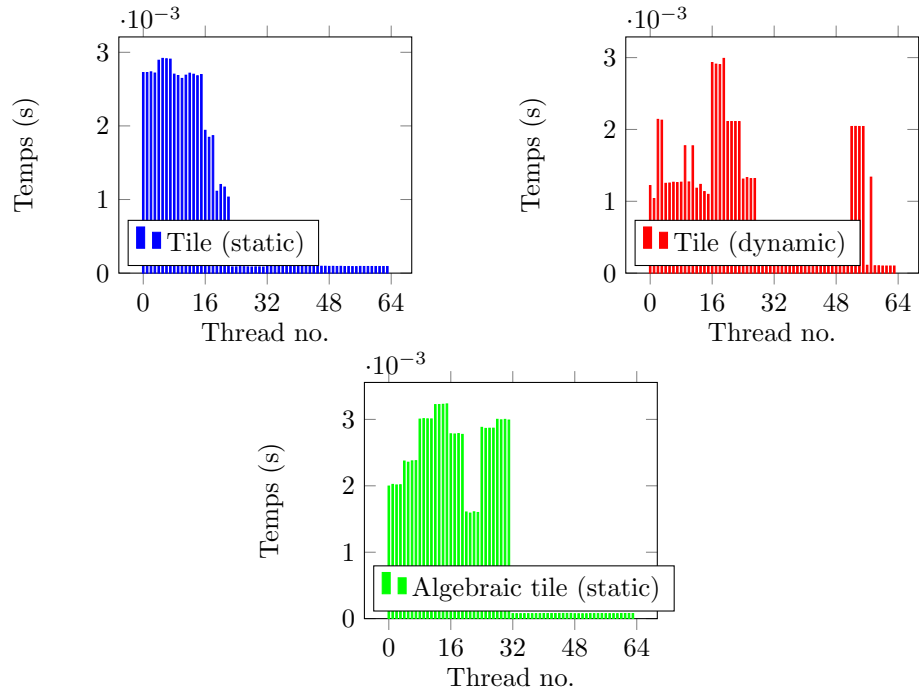


Figure 10: Temps d'exécution des threads pour le fichier bicg.c

Table 10: Statistiques pour le fichier bicg.c

Statistique	Algebraic Tile	Tile (static)	Tile (dynamic)
Skewness (g1)	0.205644	0.840314	0.601947
Kurtosis (g2)	-1.77552	-1.141	-0.867111
Coefficient de variation $\frac{\sigma}{\bar{x}}$	0.98347	1.27407	0.971766
Percent Imbalance metric en %	140.945	222.326	216.705
Coefficient de Gini	0.52531	0.622668	0.520599
Temps d'exécution (s)	0.003288	0.002973	0.003395

$$g1 = \frac{\sum_{i=1}^n (x_i - \bar{x})^3}{n\sigma^3} \quad g2 = \frac{\sum_{i=1}^n (x_i - \bar{x})^4}{n\sigma^4} \quad \text{Coefficient de Gini} = \frac{\sum_{i=1}^n \sum_{j=1}^n |x_i - x_j|}{2n^2\bar{x}}$$

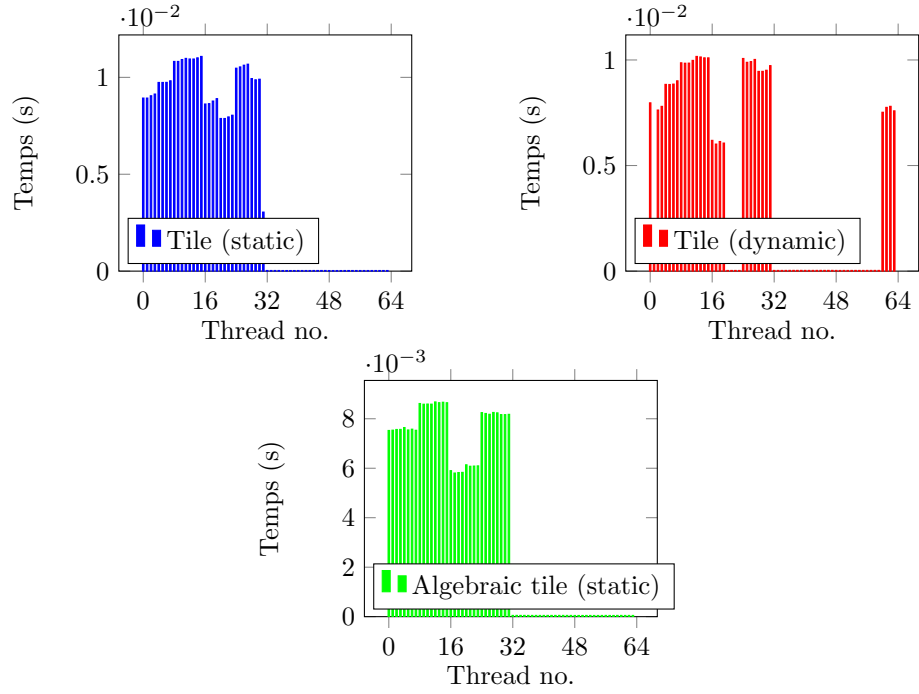


Figure 11: Temps d'exécution des threads pour le fichier mvt.c

Table 11: Statistiques pour le fichier mvt.c

Statistique	Algebraic Tile	Tile (static)	Tile (dynamic)
Skewness (g1)	0.0959472	0.113076	0.178428
Kurtosis (g2)	-1.88798	-1.89665	-1.8407
Coefficient de variation $\frac{\sigma}{\bar{x}}$	1.0044	1.01928	1.03675
Percent Imbalance metric en %	127.136	132.163	136.773
Coefficient de Gini	0.529177	0.536228	0.548888
Temps d'exécution (s)	0.008756	0.011163	0.010286

$$g1 = \frac{\sum_{i=1}^n (x_i - \bar{x})^3}{n\sigma^3} \quad g2 = \frac{\sum_{i=1}^n (x_i - \bar{x})^4}{n\sigma^4} \quad \text{Coefficient de Gini} = \frac{\sum_{i=1}^n \sum_{j=1}^n |x_i - x_j|}{2n^2\bar{x}}$$

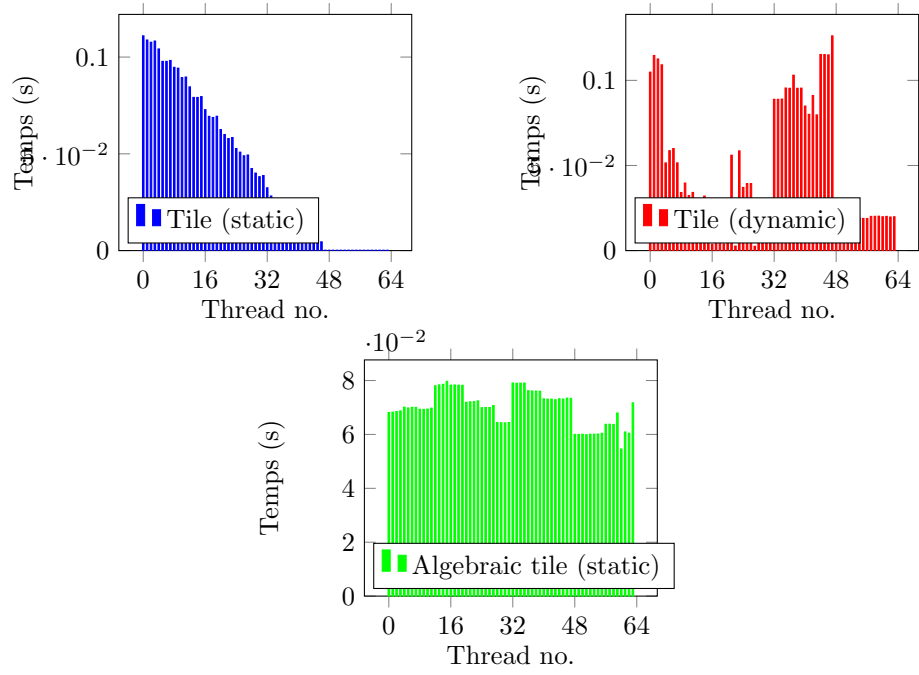


Figure 12: Temps d'exécution des threads pour le fichier correlation.c

Table 12: Statistiques pour le fichier correlation.c

Statistique	Algebraic Tile	Tile (static)	Tile (dynamic)
Skewness (g1)	-0.323781	0.395808	0.598449
Kurtosis (g2)	-0.821771	-1.31941	-1.1495
Coefficient de variation $\frac{\sigma}{\bar{x}}$	0.0913957	0.93585	0.785682
Percent Imbalance metric en %	13.8391	170.477	161.179
Coefficient de Gini	0.0517634	0.525064	0.434096
Temps d'exécution (s)	0.084034	0.114563	0.131621

$$g1 = \frac{\sum_{i=1}^n (x_i - \bar{x})^3}{n\sigma^3} \quad g2 = \frac{\sum_{i=1}^n (x_i - \bar{x})^4}{n\sigma^4} \quad \text{Coefficient de Gini} = \frac{\sum_{i=1}^n \sum_{j=1}^n |x_i - x_j|}{2n^2\bar{x}}$$

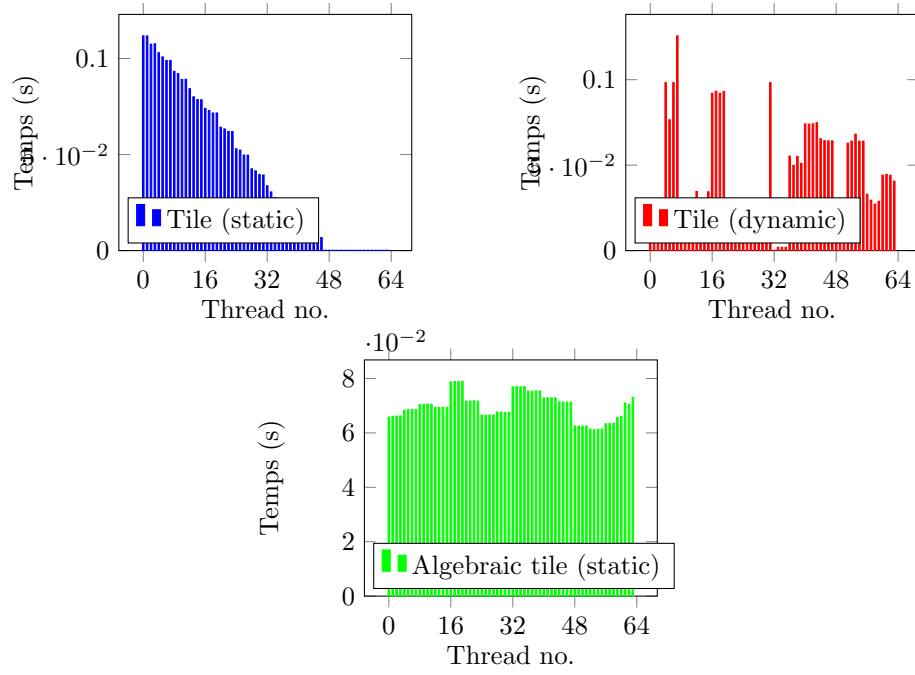


Figure 13: Temps d'exécution des threads pour le fichier covariance.c

Table 13: Statistiques pour le fichier covariance.c

Statistique	Algebraic Tile	Tile (static)	Tile (dynamic)
Skewness (g1)	0.128708	0.365132	0.543343
Kurtosis (g2)	-0.723599	-1.33145	-0.827787
Coefficient de variation $\frac{\sigma}{\bar{x}}$	0.0698351	0.91241	0.79743
Percent Imbalance metric en %	13.4092	166.148	208.971
Coefficient de Gini	0.0397884	0.513965	0.446246
Temps d'exécution (s)	0.084180	0.116260	0.132672

$$g1 = \frac{\sum_{i=1}^n (x_i - \bar{x})^3}{n\sigma^3} \quad g2 = \frac{\sum_{i=1}^n (x_i - \bar{x})^4}{n\sigma^4} \quad \text{Coefficient de Gini} = \frac{\sum_{i=1}^n \sum_{j=1}^n |x_i - x_j|}{2n^2\bar{x}}$$